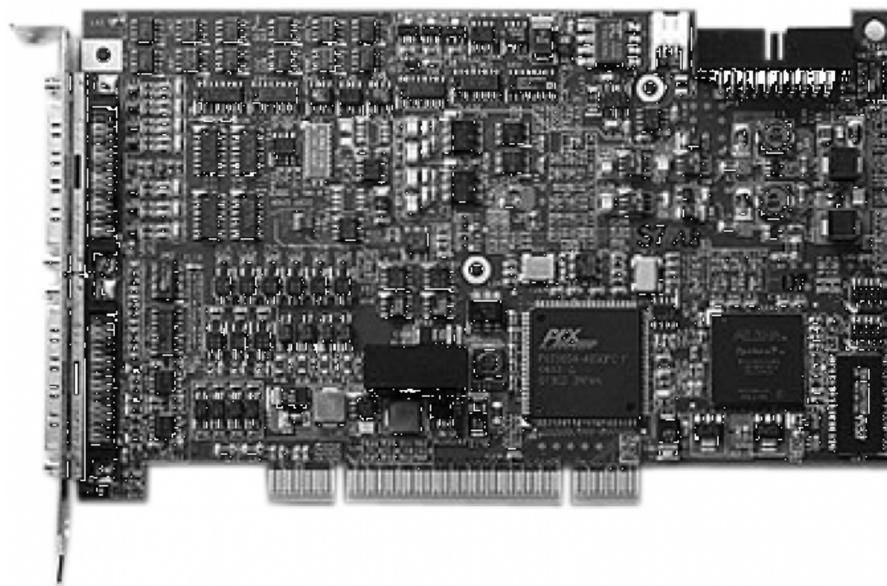
# PCIバス 24-Bit 高精度 ロードセル入力カード

PCI-9524



## 概要

PCI-9524はPCIバスを採用した、材料試験（MTS）向けに設計された強力な多目的モジュールです。
4CHの歪ゲージ・トランスデューサー入力、4CHの多目的アナログ入力チャネル、3CH エンコーダ入力を備えています。
トランスデューサー測定向けに、1.0mV/V-4.0のmV/Vへの感度をサポートし、
最大精度1/200,000カウント（フルスケール時）を提供します。

## 仕様

| | | | |
|---|---|---|---|
| 対応バス | PCI | 入力インピーダンス | 2.7KΩ |
| 歪ゲージ・トランスデューサー入力 | ー | ー | ー |
| 刺激電圧 | 2.5 V/10 VDC | 絶縁デジタル出力 | ー |
| アナログ入力分解能 | 24bit | 絶縁デジタル出力チャンネル数 | 8CH |
| 更新速度 | オートゼロ無効時　最大30K SPS (単一チャンネル)　最大4K SPS (マルチチャンネル) オートゼロ有効時 最大800 SPS (単一/マルチチャンネル) | 出力形式 | Power MOSFET |
| トランスデューサー感度 | 1.0 mV/V—4.0 mV/V | シンク電流 | 最大300mA/チャンネル |
| チャンネル数 | 4CH | ー | ー |
| 精度 | フルスケールの1/200000 オートゼロ有効/リモートセンス時 | アナログ出力 | ー |
| A/D FIFO サンプル数 | 256　オンボード | アナログ出力分解能 | 16Bit |
| ー | ー | 出力範囲 | ±10 V |
| モーションコントロール | ー | アナログ出力チャンネル数 | 2CH |
| 軸数 | ３軸 | 更新レート | 最大5KS/s |
| パルス出力オプション | OUT/DIR, CW/CCW (26LS31, ディファレンシャルラインドライバ, 動作電流: 20mA最大) | D/A FIFO サンプル数 | 1K　オンボード |

| | | | |
|---|---|---|---|
| 最大出力周波数 | 500KHz | 動作能力 | 5mA |
| エンコーダ入力 | 24-bit<br>アップダウンカウンタ （増加エンコーダのフィードバック用） | ー | ー |
| ー | ー | 一般仕様 | ー |
| 多目的アナログ入力 | ー | コネクタ | 68ピンD-Subメス型コネクタ |
| 解像度 | 24bit | 動作温度 | 0℃～60℃ |
| プログラム範囲 | ±1.25 V、±2.5 V、±5 V、±10 V | 保管温度 | -20℃～80℃ |
| アナログ入力チャンネル数 | 4CH | 湿度 | 5%～95% （但し結露しないこと） |
| サンプリングレート | 30KS/s (非マルチプレクサ) | ドライバソフト | DOS、<br>Windows/2000/XP/Vista/7 |
| A/D FIFO<br>サンプル数 | 256　オンボード | 電源 | +5V 2A |
| ー | ー | 寸法 | 156mmx116mm |
| 絶縁デジタル入力 | ー | 付属品 | 英語版取扱説明書、ドライバソフト、PCIS-DASK（Windows2000/XP/Vista/7用ドライバ） |
| 絶縁デジタル入力チャンネル数 | 8CH | オプション | DIN-68S-01（DINレール取付け型68極接続端子台） |
| 最大入力範囲（非極性） | 0Vー24V | | |

## ピンアサイン

**CN1**

| | | | |
|---|---|---|---|
| AI0+ | 34 | 68 | AI0- |
| VEXEC0+ | 33 | 67 | VEXEC0- |
| VEXEC_SEN0+ | 32 | 66 | VEXEC_SEN0- |
| TEDS0(RSV) | 31 | 65 | TEDS0_GND(RSV) |
| AI1+ | 30 | 64 | AI1- |
| VEXEC1+ | 29 | 63 | VEXEC1- |
| VEXEC_SEN1+ | 28 | 62 | VEXEC_SEN1- |
| TEDS1(RSV) | 27 | 61 | TEDS1_GND(RSV) |
| AI2+ | 26 | 60 | AI2- |
| VEXEC2+ | 25 | 59 | VEXEC2- |
| VEXEC_SEN2+ | 24 | 58 | VEXEC_SEN2- |
| TEDS2(RSV) | 23 | 57 | TEDS2_GND(RSV) |
| AI3+ | 22 | 56 | AI1- |
| VEXEC3+ | 21 | 55 | VEXEC1- |
| VEXEC_SEN3+ | 20 | 54 | VEXEC_SEN1- |
| TEDS3(RSV) | 19 | 53 | TEDS1_GND(RSV) |
| AGND | 18 | 52 | AGND |
| AI4+ | 17 | 51 | AI4- |
| AI5+ | 16 | 50 | AI5- |
| AI6+ | 15 | 49 | AI6- |
| AI7+ | 14 | 48 | AI7- |
| AGND | 13 | 47 | AGND |
| AGND | 12 | 46 | AGND |
| AGND | 11 | 45 | AGND |
| AGND | 10 | 44 | AGND |
| AGND | 9 | 43 | AGND |
| AGND | 8 | 42 | AGND |
| AGND | 7 | 41 | AGND |
| AGND | 6 | 40 | AGND |
| AGND | 5 | 39 | AGND |
| DA0_OUT | 4 | 38 | AGND |
| AGND | 3 | 37 | AGND |
| DA1_OUT | 2 | 36 | AGND |
| AGND | 1 | 35 | AGND |

**CN2**

| | | | |
|---|---|---|---|
| PULSE0_A+ | 34 | 68 | PULSE0_A- |
| PULSE0_B+ | 33 | 67 | PULSE0_B- |
| ISO5VDD | 32 | 66 | ISOGND |
| PULSE1_A+ | 31 | 65 | PULSE1_A- |
| PULSE1_B+ | 30 | 64 | PULSE1_B- |
| ISO5VDD | 29 | 63 | ISOGND |
| PULSE2_A+ | 28 | 62 | PULSE2_A- |
| PULSE2_B+ | 27 | 61 | PULSE2_B- |
| ISO5VDD | 26 | 60 | ISOGND |
| ENC0_A+ | 25 | 59 | ENC0_A- |
| ENC0_B+ | 24 | 58 | ENC0_B- |
| ISOPWR | 23 | 57 | ISOGND |
| ENC1_A+ | 22 | 56 | ENC1_A- |
| ENC1_B+ | 21 | 55 | ENC1_B- |
| ISOPWR | 20 | 54 | ISOGND |
| ENC2_A+ | 19 | 53 | ENC2_A- |
| ENC2_B+ | 18 | 52 | ENC2_B- |
| ISOPWR | 17 | 51 | ISOGND |
| IDI0+ | 16 | 50 | IDI0- |
| IDI1+ | 15 | 49 | IDI1- |
| IDI2+ | 14 | 48 | IDI2- |
| IDI3+ | 13 | 47 | IDI3- |
| ISOPWR | 12 | 46 | ISOGND |
| IDI4+ | 11 | 45 | IDI4- |
| IDI5+ | 10 | 44 | IDI5- |
| IDI6+ | 9 | 43 | IDI6- |
| IDI7+ | 8 | 42 | IDI7- |
| ISOPWR | 7 | 41 | ISOGND |
| IDO0 | 6 | 40 | IDO1 |
| IDO2 | 5 | 39 | IDO3 |
| EXT_ISOPWR | 4 | 38 | ISOGND |
| ISOPWR | 3 | 37 | ISOGND |
| IDO4 | 2 | 36 | IDO5 |
| IDO6 | 1 | 35 | IDO7 |